

名古屋大学 正会員 松澤 宏
西松建設 正会員 山本有吉

1. 本章概要

剛塑性論によれば、粘着力 c と内部摩擦角 ϕ を有する土による地震時受圧土圧の算定は塑性論による方法に基づくのが妥当である。市原と中根は、このようにして Sokolovski の方法による塑性論に震度法を適用して、地震時受圧土圧の収解を求める。さらにこれを実用の便を考えて、土の自重と地震力による地震時受圧土圧係数 K_{Pc} と粘着力による地震時受圧土圧係数 K_{pc} を表わし、幾つかの試行条件をもとに壁面の境界条件（壁面摩擦および壁面の付着力）に対する土圧係数表を作成した。しかし、この方法は理論的であり計算が煩雑である。

c と ϕ を有する土では、地震時に壁下端から発生するすべり面は全域にわたって曲面を描くので、筆者らは簡便な手法のひとつとして、すべり面の全域を対数らせん線で近似させて場合の K_{Pc} 、 K_{pc} やびすべり面に関する計算結果の有用性を検討した。その結果、筆者らによる方法は、市原らによる結果と大差のない解を得ることがわかった。以下ではこれについて報告する。

2. 計算方法

図-1において、壁面 AB の右側を基礎地盤とし、水平震度 k_h による地震力が右方に向かって作用しているとする。この状態で壁が右方に変位して、基礎地盤が極限抵抗力状態に移行した時、すべり面 BC が発生したと考える。このすべり面は図中の O 点を極として、 $r = r_0 e^{w \tan \phi}$ なる対数らせん線で近似されると仮定する。このとき壁面にはすべり土塊 ABC の自重 W と地震力 $k_h W$ による土圧合力 P_{pr} と壁面に沿う付着力の合力 C_a と土の粘着力による土圧合力 P_{pc} が図示した位置に、壁面の垂線に対して壁摩擦角 δ だけ傾斜して作用する。なお、 δ 、 α および β は図示した方向に角度を測るときを正とする。すべり土塊 ABC に作用する力の O 点のまわりの回転モーメントの釣合条件より、 P_{pr} 、 P_{pc} はそれぞれ次式で与えられる。

$$\left. \begin{aligned} P_{pr} &= \frac{\pm M_1 \mp M_2 \mp M_3}{l_r} \\ P_{pc} &= \frac{M_{c1} + M_{c2}}{l_c} \end{aligned} \right\} \quad (1)$$

ここで、 M_1 、 M_2 、 M_3 はそれぞれ三角形 OBC 、 $\triangle OAB$ 、 $\triangle OAC$ を土塊とみなしたとき、これらに作用する重力と地震力による O 点のまわりの回転モーメント、 M_{c1} はすべり面 BC に沿う粘着力による O 点のまわりの回転モーメント、 M_{c2} は壁面 AB に沿って作用する付着力による O 点のまわりの回転モーメント、 l_r 、 l_c はそれぞれ P_{pr} 、 P_{pc} の O 点に対する腕の長さである。また、壁面の単位面積当たりに作用する着力 c_a と土の粘着力 c との間に $c_a = c \tan \delta / \tan \phi$

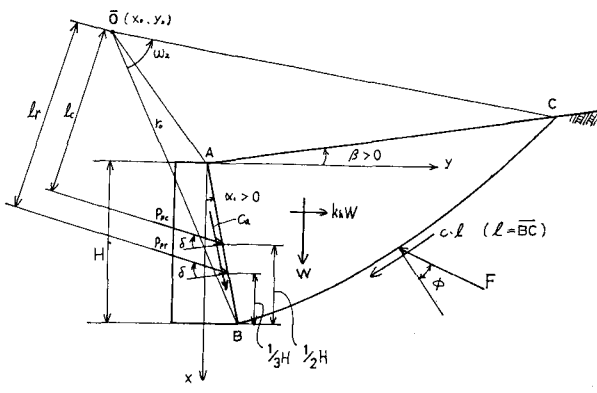


図-1(a)

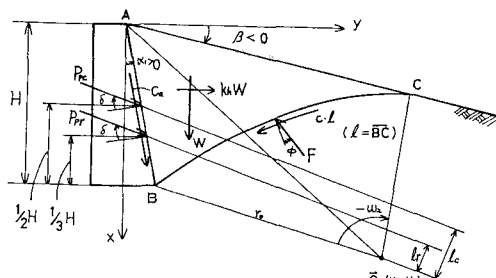


図-1(b)

する関係がある。また、式(1)の第1式右辺の横号は上号が図-1(a)に示したように下に凸なるすべり面に、下号は(b)図に示した上に凸なるすべり面に対応する。地震時受動土圧合力 P_{pe} は $P_{pt} + P_{pc}$ の最小値で与えられ、二山に對応する対数なら線がすべり面に相当する。また、 K_{pc} , K_{pr} は、

$$\left. \begin{aligned} K_{pr} &= \frac{2P_{pc} \cdot \cos \delta \cdot \cos \alpha_1}{r \cdot H^2} \\ K_{pc} &= \frac{P_{pc} \cdot \cos \delta \cdot \cos \alpha_1}{c \cdot H} \end{aligned} \right\} \quad (2)$$

で与えられる。ここに、 c は土の単位体積重量、 H は壁の総直高さである。また、地表面からの深さが x である壁面の単位面積当たりに作用する土圧強度の垂直成分 p_{pen} は

$$p_{pen} = c \cdot K_{pc} + f \cdot x K_{pr} \quad (3)$$

3. 計算結果と考察

種々の α_1 , β , θ_0 に対する地震時受動土圧を計算した。ここに、 $\theta_0 (= \tan^{-1} k_H)$ は地震合成角である。計算は市原らによる K_{pr} , K_{pc} と比較するにあたり、市原らと同じ方法を無次元化して行った。なお、平素、二山に示した計算方法は無次元化計算が無理であるが、計算方法の妥当性を検討する意味においては差支えない。また、計算に用いた壁高の無次元量 H' は市原らと同様に $H' = 10$ とした。図-2は筆者らと市原らを基準にした K_{pc} , K_{pr} を用いて求めた土圧分布図の一例である。両者は比較的良く合致している。表-1は市原らによる K_{pc} , K_{pr} に対する筆者らによる値の差の割合を百分率で表したものの一例である。 α_1 の値が大きいほど両者の差は小さくなり、 $\alpha_1 \approx 0^\circ$ では $\phi = 20^\circ$, $\theta_0 = 20^\circ$ を除けば、筆者らの方法は数%程度大き目とすぎない。図-3は $\theta_0 = 0^\circ$, $\alpha_1 = 0^\circ$, $\phi = 25^\circ$, $f = 0^\circ$ のとき、種々の β に対するすべり面の比較を示したものである。筆者らの方法によるすべり面の形状、位置は市原らが求めたものと大筋において良く合致している。

4. 結語

粘着力と内部摩擦を有する土による地震時受動土圧を、力学的に複雑性に乏しい全域対数らせん法で求めても、より厳密な理論である Sokolovski の方法に基づく計算値と実用上大差がないことがわかった。筆者らの方法においては、 K_{pc} , K_{pr} および壁下端から発生するすべり面の概略を比較的簡単に求めることができた。

参考文献

- 市原・中根：“内部摩擦をもつ粘性土の地震時受動土圧の算定”，土木学会論文報告集，第258号，昭和51年9月，pp. 69~84.

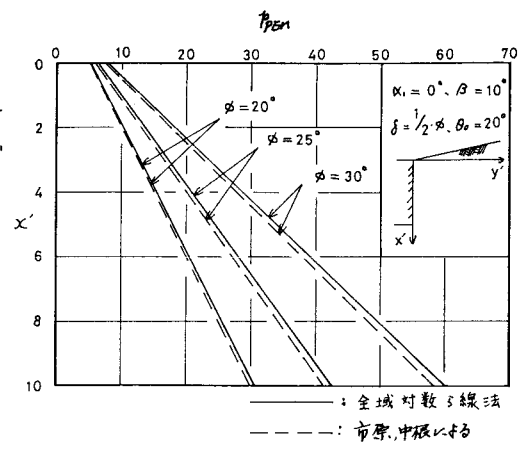


図-2

表-1

		$\alpha_1 = -20^\circ$		$\alpha_1 = -10^\circ$		$\alpha_1 = 10^\circ$		$\alpha_1 = 20^\circ$	
ϕ	θ_0	K_{pc}	K_{pr}	K_{pc}	K_{pr}	K_{pc}	K_{pr}	K_{pc}	K_{pr}
20	0	8.10	3.16	9.74	2.03	0.62	0.50	0.20	0.05
	10	1.92	2.94	3.92	1.67	1.48	0.54	1.70	0.25
	20	12.34	2.81	10.96	1.34	11.09	2.16	12.33	4.15
25	0	11.24	2.57	6.58	1.72	1.02	0.44	0.07	0.04
	10	8.33	3.04	9.96	1.67	1.29	0.25	0.88	0.44
	20	9.73	2.90	7.15	0.91	6.09	0.11	6.81	1.04
30	0	14.70	4.18	8.49	2.79	1.47	0.71	0.15	0.14
	10	11.48	9.77	6.73	2.89	1.34	0.51	0.56	0.24
	20	10.82	5.55	7.15	2.75	4.15	0.23	3.90	0.71

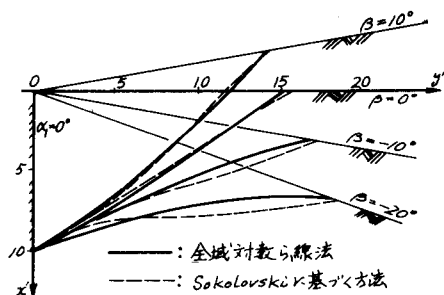


図-3